

ผลของอุณหภูมิที่ลดลงและอุณหภูมิที่เพิ่มขึ้นต่อค่า Plastic Strain Ratio
และค่า Strain-Hardening Exponent ของเหล็กแผ่นรีดร้อน

นายพงศธร ตั้งฤกษ์วราสกุล

วิทยานิพนธ์นี้เป็นส่วนหนึ่งของการศึกษาตามหลักสูตรปริญญาวิศวกรรมศาสตรมหาบัณฑิต

สาขาวิชาวิศวกรรมโลหการ ภาควิชาวิศวกรรมโลหการ

คณะวิศวกรรมศาสตร์ จุฬาลงกรณ์มหาวิทยาลัย

ปีการศึกษา 2551

ลิขสิทธิ์ของจุฬาลงกรณ์มหาวิทยาลัย



4 9 7 0 4 4 4 4 2 1

EFFECT OF FINISHING TEMPERATURE AND COILING TEMPERATURE ON
PLASTIC STRAIN RATIO AND STRAIN-HARDENING EXPONENT OF
HOT ROLLED STEEL SHEET

Mr. Pongsatorn Tangreakwarasakul

A Thesis Submitted in Partial Fulfillment of the Requirements
for the Degree of Master of Engineering Program in Metallurgical Engineering

Department of Metallurgical Engineering

Faculty of Engineering

Chulalongkorn University

Academic Year 2008

Copyright of Chulalongkorn University

512068

หัวข้อวิทยานิพนธ์

ผลของอุณหภูมิรีดละเอียดและอุณหภูมิมีมันต่อค่า Plastic Strain Ratio และค่า Strain-Hardening Exponent ของเหล็กแผ่นรีดร้อน

โดย

นายพงศธร ตั้งฤกษ์วราสกุล


สาขาวิชา

วิศวกรรมโลหการ

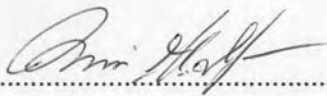
อาจารย์ที่ปรึกษาวิทยานิพนธ์

รองศาสตราจารย์ ดร.ประสงค์ ศรีเจริญชัย

คณะวิศวกรรมศาสตร์ จุฬาลงกรณ์มหาวิทยาลัย อนุมัติให้รับวิทยานิพนธ์ฉบับนี้
เป็นส่วนหนึ่งของการศึกษาตามหลักสูตรปริญญาโทบัณฑิต

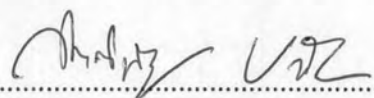

..... คณบดีคณะวิศวกรรมศาสตร์
(รองศาสตราจารย์ ดร. บุญสม เลิศหิรัญวงศ์)

คณะกรรมการสอบวิทยานิพนธ์


..... ประธานกรรมการ
(อาจารย์ ดร. มาวิน สุประดิษฐ์ ณ อยุธยา)


..... อาจารย์ที่ปรึกษาวิทยานิพนธ์
(รองศาสตราจารย์ ดร. ประสงค์ ศรีเจริญชัย)


..... กรรมการ
(อาจารย์ ดร. บุญรัตน์ โฉ่ววงศ์วัฒน์)


..... กรรมการภายนอกมหาวิทยาลัย
(ดร. กิตติพันธ์ บางยี่ขัน)

พงศธร ตั้งฤกษ์วาราสกุล : ผลของอุณหภูมิรีดละเอียดและอุณหภูมิรีดร้อนต่อค่า Plastic Strain Ratio และค่า Strain-Hardening Exponent ของเหล็กแผ่นรีดร้อน. (EFFECT OF FINISHING TEMPERATURE AND COILING TEMPERATURE ON PLASTIC STRAIN RATIO AND STRAIN-HARDENING EXPONENT OF HOT ROLLED STEEL SHEET) อ.ที่ปรึกษาวิทยานิพนธ์: รศ.ดร. ประสงค์ ศรีเจริญชัย, 56 หน้า.

วิทยานิพนธ์นี้หา Plastic Strain Ratio เฉลี่ย (R_m) และ Strain-Hardening Exponent (n) ของเหล็กแผ่นรีดร้อนเกรด HR 1 เหล็กแผ่นผ่านการรีดจริงในโรงงานโดยแปรผันอุณหภูมิรีดละเอียดในช่วงระหว่าง $860-910^{\circ}\text{C}$ และแปรผันอุณหภูมิรีดร้อนในช่วงระหว่าง $540-720^{\circ}\text{C}$ จนได้ความหนา 3.2 มิลลิเมตร เตรียมชิ้นงานทดสอบแรงดึงตามมาตรฐาน JIS Z2201 No.5 หาค่า R_m และค่า n จากผลการทดสอบแรงดึง หาขนาดเกรนเฟอร์ไรต์โดยการตรวจสอบโครงสร้างจุลภาคตามมาตรฐาน ASTM E112

ผลการศึกษาพบว่าที่อุณหภูมิรีดละเอียด 860°C อุณหภูมิรีดร้อนที่สูงขึ้นให้ % การยืดตัวสูงขึ้น และค่า n สูงขึ้น อย่างไรก็ตามเมื่ออุณหภูมิรีดละเอียดมากกว่า 860°C อุณหภูมิที่สูงขึ้นไม่มีผลต่อค่า R_m และค่า n แต่ทำให้ขนาดเกรนเฟอร์ไรต์โตขึ้นเล็กน้อย ในช่วงอุณหภูมิรีดละเอียด $860-910^{\circ}\text{C}$ และอุณหภูมิรีดร้อน $540-720^{\circ}\text{C}$ อุณหภูมิรีดร้อนที่เพิ่มขึ้นมีผลให้ค่า n สูงขึ้นโดยไม่ทำให้ค่า R_m สูงขึ้น เงื่อนไขที่ดีที่สุดจากการศึกษานี้คืออุณหภูมิรีดละเอียด 860°C และอุณหภูมิรีดร้อน 680°C ซึ่งให้ค่า R_m 1.1 และค่า n 0.20

ภาควิชา วิศวกรรมโลหการ
สาขาวิชา วิศวกรรมโลหการ
ปีการศึกษา 2551

ลายมือชื่อนิสิต พงศธร ตั้งฤกษ์วาราสกุล
ลายมือชื่ออ.ที่ปรึกษาวิทยานิพนธ์

4970444421 : MAJOR METALLURGICAL ENGINEERING

KEYWORDS : FINISHING TEMPERATURE / COILING TEMPERATURE / PLASTIC STRAIN RATIO/ STRAIN-HARDENING EXPONENT

PONGSATORN TANGREAKWARASAKUL : EFFECT OF FINISHING TEMPERATURE AND COILING TEMPERATURE ON PLASTIC STRAIN RATIO AND STRAIN-HARDENING EXPONENT OF HOT ROLLED STEEL SHEET.

ADVISOR : ASSOC.PROF.PRASONK SRICHAROENCHAI , 56 pp.

This thesis investigated average plastic strain ratio (R_m) and strain-hardening exponent of hot rolled steel sheets grade HR1. The steel sheets were rolled in the actual strip mill by varying finishing temperature in the range of 860-910°C and varying coiling temperature in the range of 540-720°C to the thickness of 3.2 mm. Tensile test specimen was prepared according to JIS Z2201 No.5 standard. R_m value and n value were measured from tensile testing result. Ferrite grain size was measured by microstructure observation according to ASTM E112 standard.

It is found that, at finishing temperature of 860°C the increasing coiling temperature result in the increasing % elongation and increasing n value. However, when the finishing temperature is higher than 860°C, the increase in finishing temperature does not affect R_m and n value but causes a little increasing ferrite grain size. In the finishing temperature range of 860-910°C and the coiling temperature range of 540-720°C the increasing coiling temperature results in increasing n value but does not increase R_m value. The best condition in this study is the finishing temperature at 860°C and the coiling temperature at 680°C which provides R_m value of 1.1 and n value of 0.20

Department : Metallurgical Engineering Student's Signature Pongsatorn Tangreakwarasakul
Field of Study : Metallurgical Engineering Advisor's Signature Prasonk Sricharoenchai
Academic Year : 2008

กิตติกรรมประกาศ

วิทยานิพนธ์ฉบับนี้สำเร็จลุล่วงไปได้ด้วยดีจากความช่วยเหลือจากหลายๆฝ่าย ผู้วิจัยขอกราบขอบพระคุณอาจารย์ที่ปรึกษาวิทยานิพนธ์ รองศาสตราจารย์ ดร.ประสงค์ ศรีเจริญชัย ที่ได้กรุณาให้ความช่วยเหลือและให้คำแนะนำแนวทางที่เป็นประโยชน์อย่างยิ่งต่องานวิจัยนี้ ขอขอบพระคุณประธาน และคณะกรรมการสอบวิทยานิพนธ์ อาจารย์ ดร.มาวิน สุประดิษฐ ญ อยุธยา อาจารย์ ดร.บุญรัตน์ โล่วงศวีวัฒนและดร.กิตติพันธ์ บางยี่ขัน ที่ให้ความรู้ คำแนะนำและข้อคิดเห็นที่เป็นประโยชน์ต่องานวิจัย ขอขอบพระคุณเจ้าหน้าที่ในภาควิชาวิศวกรรมโลหการทุกท่าน ที่ให้การสนับสนุนข้าพเจ้าในทุกด้านด้วยดีตลอดมา

ขอขอบพระคุณบริษัท สหวิริยาสติลอินดัสตรี จำกัด (มหาชน) ที่ให้ความอนุเคราะห์เหล็กแผ่นรีดร้อนสำหรับใช้เป็นตัวอย่างในงานวิจัย และทุนการศึกษาในระดับปริญญาโท ขอขอบพระคุณคุณ วีรุฒิ ภาณุมาตรรักษ์มี เจ้าของร้าน ไทยดีโลหะภัณฑ์ที่ให้ความอนุเคราะห์ตัดเหล็กแผ่นรีดร้อนเพื่อใช้ในการเตรียมตัวอย่างในงานวิจัย

สุดท้ายนี้ ผู้วิจัยขอกราบขอบพระคุณ บิดา-มารดา พี่สาว ของข้าพเจ้า ที่ให้การสนับสนุนและเป็นกำลังใจให้กับข้าพเจ้าตลอดมาจนสำเร็จการศึกษา ขอกราบขอบพระคุณ คุณครู และอาจารย์ทุกท่านที่อบรมสั่งสอนข้าพเจ้ามาตั้งแต่อดีตจนถึงปัจจุบัน และขอขอบคุณพี่ เพื่อน และน้องนิสิตทุกท่านโดยเฉพาะกลุ่มวิจัยทางด้านวิศวกรรมพื้นผิว ที่ให้คำแนะนำ ช่วยเหลือ และเป็นกำลังใจให้กับผู้วิจัยด้วยดีเสมอมาจนสำเร็จการศึกษา

สารบัญ

	หน้า
บทคัดย่อภาษาไทย.....	ง
บทคัดย่อภาษาอังกฤษ.....	จ
กิตติกรรมประกาศ.....	ฉ
สารบัญ.....	ช
สารบัญตาราง.....	ญ
สารบัญรูป.....	ฎ
บทที่	
1 บทนำ.....	1
1.1 ความสำคัญของงานวิจัย.....	1
1.2 วัตถุประสงค์.....	2
1.3 ขอบเขตของการศึกษา.....	3
1.4 ประโยชน์ที่คาดว่าจะได้รับ.....	3
2 การศึกษาข้อมูลเบื้องต้นและงานวิจัยที่เกี่ยวข้อง.....	4
2.1 มาตรฐานอุตสาหกรรมของเหล็กแผ่นรีดร้อน.....	4
2.2 สมบัติทางกลและความสามารถในการขึ้นรูป.....	4
2.3 งานวิจัยที่เกี่ยวข้อง.....	11
3 การทดลอง.....	17
3.1 วัสดุที่ใช้ในการวิจัย.....	17
3.2 เครื่องมือที่ใช้ในการวิจัย.....	18
3.3 วิธีดำเนินการวิจัย.....	18
4 ผลการวิเคราะห์การทดลอง.....	20
4.1 อุณหภูมิรีดละเอียด 860°C.....	20
4.1.1 สมบัติทางกลของชิ้นงานที่มีอุณหภูมิมี้วนต่างกัน.....	20
4.1.2 ความสัมพันธ์ระหว่างเปอร์เซ็นต์การยืดตัวกับ ค่า plastic strain ratio เฉลี่ย.....	22

บทที่	หน้า
4 ผลการวิเคราะห์การทดลอง (ต่อ).....	23
4.1.3 ความสัมพันธ์ระหว่างเปอร์เซ็นต์การยืดตัวกับ ค่า strain-hardening exponent.....	23
4.1.4 ความสัมพันธ์ระหว่างขนาดเกรนเฟอร์ไรต์กับ ค่า plastic strain ratio เฉลี่ย.....	24
4.2 อุณหภูมิรีดละเอียดที่สูงขึ้น.....	25
4.2.1 สมบัติทางกลของชิ้นงานที่อุณหภูมิรีดละเอียดต่างๆ.....	25
4.2.2 ความสัมพันธ์ระหว่างเปอร์เซ็นต์การยืดตัวกับ ค่า plastic strain ratio เฉลี่ย.....	27
4.2.3 ความสัมพันธ์ระหว่างเปอร์เซ็นต์การยืดตัวกับ ค่า strain-hardening exponent.....	28
4.2.4 ความสัมพันธ์ระหว่างขนาดเกรนเฟอร์ไรต์กับ ค่า plastic strain ratio เฉลี่ย.....	29
4.3 อุณหภูมิรีดละเอียดและอุณหภูมิมี้วนทั้งหมด.....	30
4.3.1 ความสัมพันธ์ระหว่างเปอร์เซ็นต์การยืดตัวกับ ค่า plastic strain ratio เฉลี่ย.....	30
4.3.2 ความสัมพันธ์ระหว่างขนาดเกรนเฟอร์ไรต์กับ ค่า plastic strain ratio เฉลี่ย.....	31
4.3.3 ความสัมพันธ์ระหว่างเปอร์เซ็นต์การยืดตัวกับ ค่า strain-hardening exponent.....	33
4.3.4 โครงสร้างจุลภาค.....	34
5 สรุปผลการวิเคราะห์การทดลอง.....	36
รายการอ้างอิง.....	37
ภาคผนวก.....	38
ภาคผนวก ก.....	39
ภาคผนวก ข.....	43
ภาคผนวก ค.....	45

บทที่	หน้า
ภาคผนวก.....	51
ประวัติผู้เขียนวิทยานิพนธ์.....	55

สารบัญตาราง

	หน้า
ตารางที่ 2.1 สมบัติทางกลทั่วไปของเหล็กกล้ารีดร้อน.....	5
ตารางที่ 2.2 ส่วนผสมของเหล็กกล้ารีดร้อน IF ในการศึกษาของ H. Zhao, S.C. Ram, G.C. Barbe , Z.Wang และ X. Wang.....	11
ตารางที่ 3.1 ส่วนผสมทางเคมีของเหล็กแผ่นรีดร้อนที่ใช้ในการทดลอง.....	14
ตารางที่ 3.2 สัญลักษณ์ของชิ้นงานที่แทนชิ้นงานที่มีอุณหภูมิรีดละเอียดและ อุณหภูมิรีดร้อนต่างๆ.....	14
ตารางที่ ก.1 ส่วนประกอบทางเคมีเมื่อวิเคราะห์จากบ้ำ.....	40
ตารางที่ ก.2 เกณฑ์ความคลาดเคลื่อนของส่วนประกอบทางเคมี เมื่อวิเคราะห์จากผลิตภัณฑ์.....	41
ตารางที่ ก.3 ความต้านแรงดึงและความยืด.....	42
ตารางที่ ก.4 การตัดโค้ง.....	42
ตารางที่ ข.1 ประเภทชิ้นงานทดสอบแรงดึงตามมาตรฐาน JIS Z2201.....	43
ตารางที่ ข.2 การเลือกมาตรฐานชิ้นงานทดสอบแรงดึง.....	43
ตารางที่ ค.1 เทียบขนาดเกรนหน่วย ASTM No. เป็นไมครอน.....	50
ตารางที่ ง.1 ตัวแปรที่มีผลต่อเกิด texture ของเหล็กกล้าคาร์บอนต่ำ.....	54

สารบัญรูป

	หน้า
รูปที่ 2.1 การลากขึ้นรูปลึก	6
รูปที่ 2.2 ความสัมพันธ์ระหว่างขนาดเกรนเฟอร์ไรต์กับค่า Rm	9
รูปที่ 2.3 ความสัมพันธ์ระหว่าง texture กับค่า Rm	10
รูปที่ 2.4 แผนผังการรีดร้อนในการศึกษาของ H. Zhao, S.C. Rama, G.C. Barber, Z.Wang และ X. Wang	11
รูปที่ 2.5 รูปถ่ายโครงสร้างจุลภาคจากกล้องจุลทรรศน์ชนิดแสงของ ตัวอย่างที่ไม่ได้ใช้สารหล่อลื่นในขณะทำการรีด หลังผ่านการอบอ่อน	12
รูปที่ 2.6 ความเข้มของ texture ของตัวอย่างที่มีอุณหภูมิรีดละเอียด 800 องศาเซลเซียสและไม่ใช้สารหล่อลื่นในการรีดร้อน	12
รูปที่ 2.7 ความเข้มของ texture ของตัวอย่างที่มีอุณหภูมิรีดละเอียด 800 องศาเซลเซียสและใช้สารหล่อลื่นในการรีดร้อน	12
รูปที่ 2.8 ความเข้มของ texture ของตัวอย่างอุณหภูมิรีดละเอียด 750 องศาเซลเซียสและใช้สารหล่อลื่นในการรีดร้อนก่อนการอบอ่อน	13
รูปที่ 2.9 ความเข้มของ texture ของตัวอย่างที่มีอุณหภูมิรีดละเอียด 750 องศาเซลเซียสและใช้สารหล่อลื่นในการรีดร้อนหลังการอบอ่อน	13
รูปที่ 4.1 สมบัติทางกลของชิ้นงานที่มีอุณหภูมิต่างกัน	17
รูปที่ 4.2 ความสัมพันธ์ระหว่างเปอร์เซ็นต์การยืดตัวกับค่า plastic strain ratio เฉลี่ยของชิ้นงานที่อุณหภูมิมี้วนต่างๆ	19
รูปที่ 4.3 ความสัมพันธ์ระหว่างเปอร์เซ็นต์การยืดตัวกับค่า strain-hardening exponent ของชิ้นงานที่อุณหภูมิมี้วนต่างๆ	20
รูปที่ 4.4 ความสัมพันธ์ระหว่างขนาดเกรนเฟอร์ไรต์กับค่า plastic strain ratio เฉลี่ยของชิ้นงานที่อุณหภูมิมี้วนต่างๆ	21
รูปที่ 4.5 สมบัติทางกลของชิ้นงานที่มีอุณหภูมิรีดละเอียดต่างๆ	22
รูปที่ 4.6 ความสัมพันธ์ระหว่างเปอร์เซ็นต์การยืดตัวกับค่า plastic strain ratio เฉลี่ยของชิ้นงานที่อุณหภูมิรีดละเอียดต่างๆ	24
รูปที่ 4.7 ความสัมพันธ์ระหว่างเปอร์เซ็นต์การยืดตัวกับค่า strain-hardening exponent ของชิ้นงานที่อุณหภูมิรีดละเอียดต่างๆ	25

รูปที่ 4.8 ความสัมพันธ์ระหว่างขนาดเกรนเฟอร์ไรต์กับค่า plastic strain ratio เฉลี่ยของชิ้นงานที่อุณหภูมิ รีดละเอียดต่างๆ.....	26
รูปที่ 4.9 ความสัมพันธ์ระหว่างเปอร์เซ็นต์การยึดตัวกับค่า plastic strain ratio เฉลี่ยของชิ้นงานที่อุณหภูมิ รีดละเอียดและอุณหภูมิมี้วนต่างๆ.....	27
รูปที่ 4.10 ความสัมพันธ์ระหว่างขนาดเกรนเฟอร์ไรต์กับค่า plastic strain ratio เฉลี่ยของชิ้นงานที่อุณหภูมิ รีดละเอียดและอุณหภูมิมี้วนต่างๆ.....	28
รูปที่ 4.11 ความสัมพันธ์ระหว่างเปอร์เซ็นต์การยึดตัวกับค่า strain-hardening exponentของชิ้นงานที่อุณหภูมิ รีดละเอียดและอุณหภูมิมี้วนต่างๆ.....	30
รูปที่ 4.12 โครงสร้างจุลภาคของชิ้นงานที่อุณหภูมิรีดละเอียด และอุณหภูมิมี้วนต่างๆ.....	31
รูปที่ ข.1 ข้อกำหนดชิ้นงานตามมาตรฐาน JIS Z2201 No.5.....	44
รูปที่ ค.1 แบบสำหรับการวัดขนาดเกรนแบบนับจุดตัด (Test Pattern for Intercept Counting).....	46
รูปที่ ค.2 จำนวนจุดตัดเฉลี่ยบนแบบวัด 500 มม.....	49
รูปที่ ง.1 ส่วนประกอบทั่วไปของ EBSD ใน SEM โดยแสดงให้เห็นเส้น kikuchi pattern EBSD ที่สะท้อนมาจากฉากฟอสเฟอร์.....	51
รูปที่ ง.2 (ก) (200) pole figure แสดงการเรียงตัวที่สำคัญ บางตัวของเหล็กกล้าลากรีนรูปลึก (ข) ส่วน $\varphi_2 = 45^\circ$ ใน Euler Space แสดงการเรียงตัวและเส้นในที่สำคัญ.....	53
รูปที่ ง.3 ส่วน $90^\circ \times 90^\circ \times 90^\circ$ ของ Euler space ที่แสดง ตำแหน่งของการเรียงตัวและเส้นในที่สำคัญในเหล็กกล้าคาร์บอนต่ำ.....	53